

Wisteria/BDEC-01 と h3-Open-BDEC



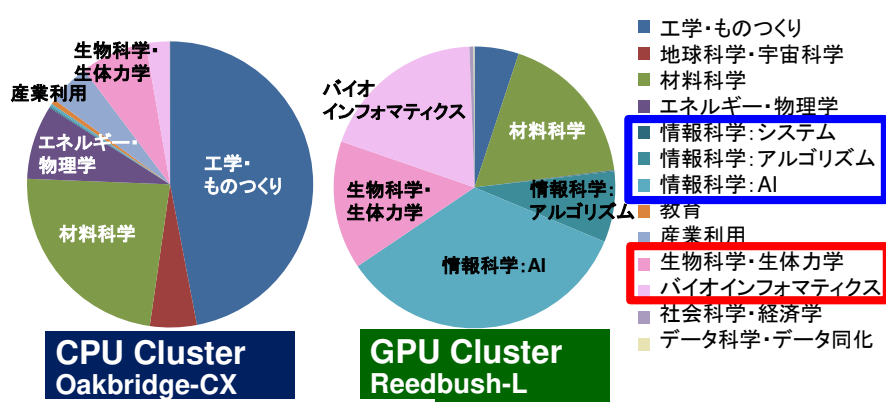
中島 研吾
東京大学情報基盤センター



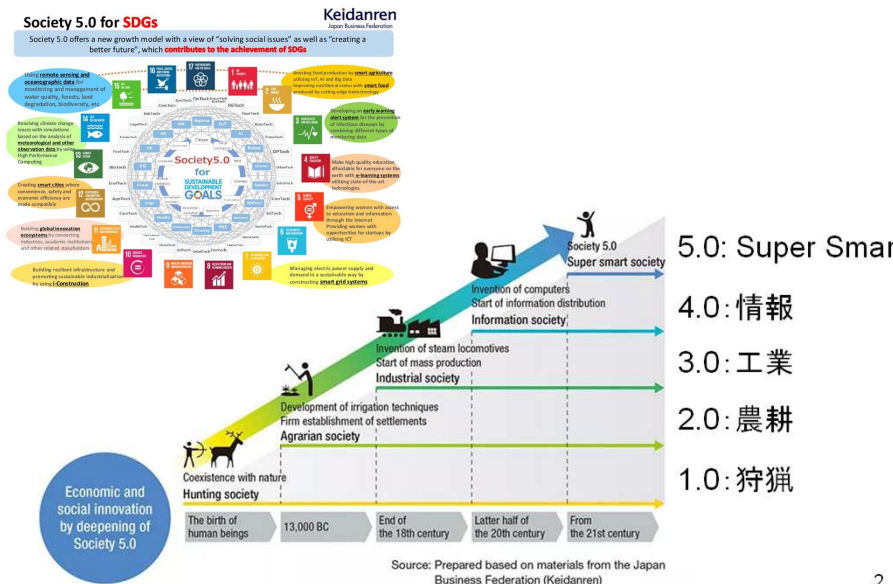
PCCC-OSSSワークショップ
2023年3月30日



スーパーコンピューティングの今後



- ワークロードの多様化
 - 計算科学, 計算工学: Simulations
 - 大規模データ解析
 - AI, 機械学習
- (シミュレーション(計算) + データ + 学習) 融合 ⇒ Society 5.0 実現に有効: Digital Twin
 - フィジカル空間とサイバー空間の融合
 - S: シミュレーション(計算) (Simulation)
 - D: データ(Data)
 - L: 学習(Learning)
 - Simulation + Data + Learning = S+D+L**



(シミュレーション(計算)+データ+学習)融合(S+D+L)

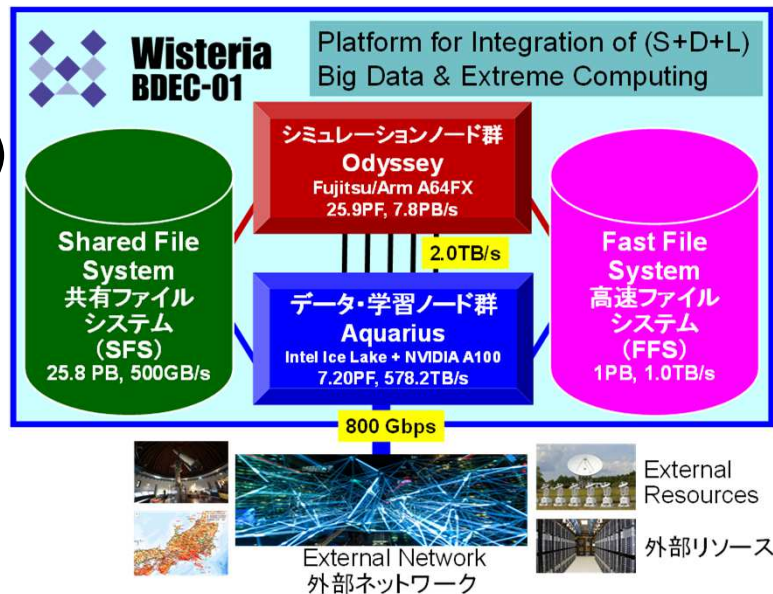
- 東大情報基盤センターでは、2015年頃から「(S+D+L)融合」の重要性に注目し、それを実現するためのハードウェア、ソフトウェア、アプリケーション、アルゴリズムに関する研究開発を開始
 - BDEC計画(Big Data & Extreme Computing)
 - 「データ+学習」による、より高度な「シミュレーション」
 - AI for HPC, AI for Science
 - 地球科学関連では自然な発想(すでに実施されている)
- 2021年5月に運用を開始した「Wisteria/BDEC-01」は「BDEC計画」の1号機
 - Reedbush, Oakbridge-CXは「BDEC」のプロトタイプと位置づけられる
 - 「計算・データ・学習(S+D+L)」融合を実現する、世界でも初めてのプラットフォーム



Wisteria/BDEC-01

- 2021年5月14日運用開始
 - 東京大学柏Ⅱキャンパス
- 33.1 PF, 8.38 PB/sec., **富士通製**
 - ~4.5 MVA(空調込み), ~360m²
- Hierarchical, Hybrid, Heterogeneous (h3)
- 2種類のノード群**
 - シミュレーションノード群(S, SIM) : Odyssey**
 - 従来のスパコン
 - Fujitsu PRIMEHPC FX1000 (A64FX), 25.9 PF**
 - 7,680ノード(368,640コア), 20ラック, Tofu-D
 - データ・学習ノード群(D/L, DL) : Aquarius**
 - データ解析, 機械学習
 - Intel Xeon Ice Lake + NVIDIA A100, 7.2 PF**
 - 45ノード(Ice Lake:90基, A100:360基), IB-HDR
 - 一部は外部リソース(ストレージ, サーバー, センサーネットワーク他)に直接接続
- ファイルシステム: 共有(大容量) + 高速

BDEC:「計算・データ・学習(S+D+L)」
融合のためのプラットフォーム
(Big Data & Extreme Computing)



**Wisteria
BDEC-01**

Wisteria/BDEC-01

- 2021年5月14日運用開始
 - 東京大学柏Ⅱキャンパス
- 33.1 PF, 8.38 PB/sec., **富士通製**
 - ~4.5 MVA(空調込み), ~360m²
- Hierarchical, Hybrid, Heterogeneous (h3)
- 2種類のノード群**

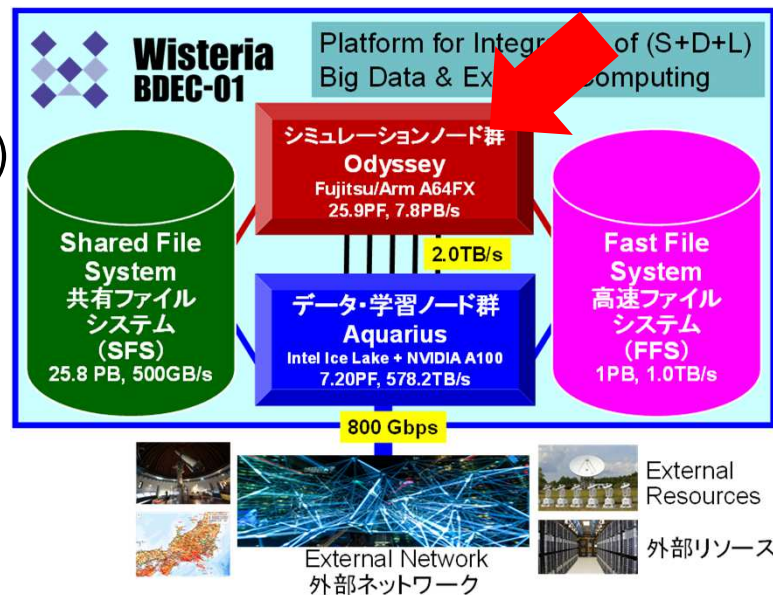
シミュレーションノード群 (S, SIM) : Odyssey

- 従来のスパコン
- Fujitsu PRIMEHPC FX1000 (A64FX), 25.9 PF**
 - 7,680ノード(368,640コア), 20ラック, Tofu-D

データ・学習ノード群 (D/L, DL) : Aquarius

- データ解析, 機械学習
- Intel Xeon Ice Lake + NVIDIA A100, 7.2 PF**
 - 45ノード(Ice Lake:90基, A100:360基), IB-HDR
 - 一部は外部リソース(ストレージ, サーバー, センサーネットワーク他)に直接接続
- ファイルシステム: 共有(大容量) + 高速

BDEC:「計算・データ・学習(S+D+L)」
融合のためのプラットフォーム
(Big Data & Extreme Computing)



**Wisteria
BDEC-01**

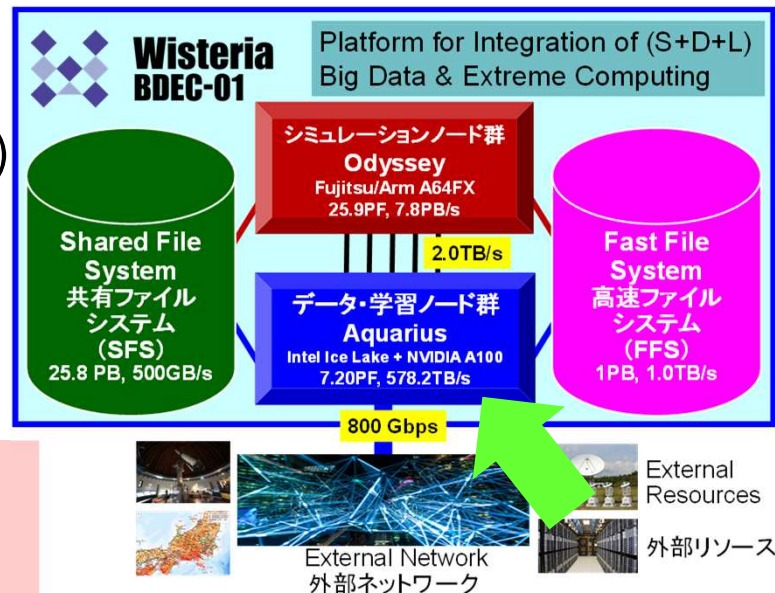
Wisteria/BDEC-01

- 2021年5月14日運用開始
 - 東京大学柏Ⅱキャンパス
- 33.1 PF, 8.38 PB/sec., **富士通製**
 - ~4.5 MVA(空調込み), ~360m²
- Hierarchical, Hybrid, Heterogeneous (h3)
- 2種類のノード群**

- シミュレーションノード群(S, SIM) : **Odyssey**
 - 従来のスパコン
 - Fujitsu PRIMEHPC FX1000 (A64FX), 25.9 PF**
 - 7,680ノード(368,640 コア), 20ラック, Tofu-D

- データ・学習ノード群(D/L, DL) : **Aquarius**
 - データ解析, 機械学習
 - Intel Xeon Ice Lake + NVIDIA A100, 7.2 PF**
 - 45ノード(Ice Lake:90基, A100:360基), IB-HDR
 - 一部は外部リソース(ストレージ, サーバー, センサーネットワーク他)に直接接続
- ファイルシステム: 共有(大容量) + 高速

BDEC:「計算・データ・学習(S+D+L)」
融合のためのプラットフォーム
(Big Data & Extreme Computing)



Wisteria
BDEC-01

Simulation Nodes

Odyssey

25.9 PF, 7.8 PB/s

Fast File System (FFS)
1.0 PB, 1.0 TB/s

Shared File System (SFS)
25.8 PB, 0.50 TB/s

Data/Learning Nodes

Aquarius

7.20 PF, 578.2 TB/s

計算科学コード

シミュレーション
ノード群, Odyssey

最適化されたモデル,
パラメータ

計算結果

Wisteria/BDEC-01

機械学習, DDA

データ・学習ノード群
Aquarius

観測データ

データ同化
データ解析



Wisteria
BDEC-01

サーバー
ストレージ
DB
センサー群
他



外部ネットワーク



外部
リソース

Simulation Nodes

Odyssey

25.9 PF, 7.8 PB/s

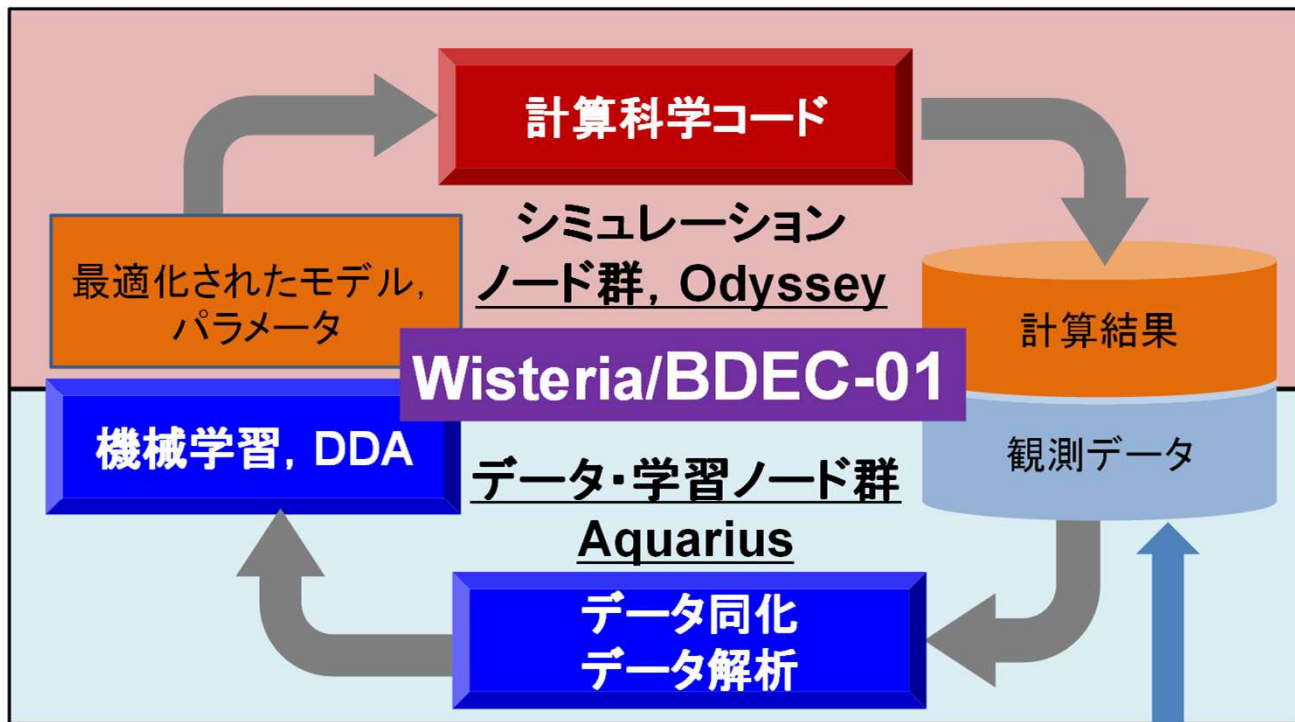
Fast File System (FFS)
1.0 PB, 1.0 TB/s

Shared File System (SFS)
25.8 PB, 0.50 TB/s

Data/Learning Nodes

Aquarius

7.20 PF, 578.2 TB/s



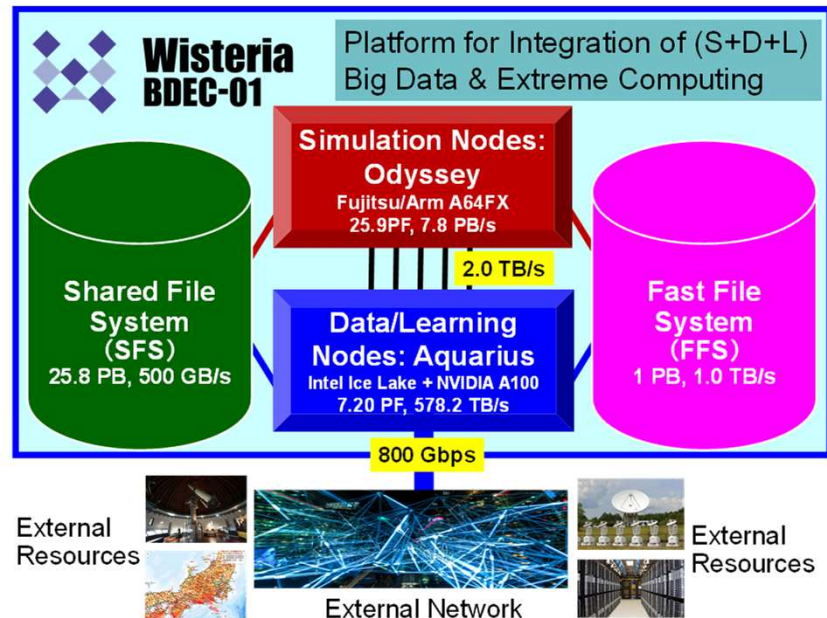
シミュレーションのためのモデル・パラメータのデータ解析, AI/機械学習による最適化 (S+D+L)



SC22における諸ランキング (2022年11月)



	Odyssey	Aquarius
TOP 500	23	125
Green 500	45	28
HPCG	12	68
Graph 500 BFS	4	-
HPL-MxP (HPL-AI)	14	-



h3-Open-BDEC

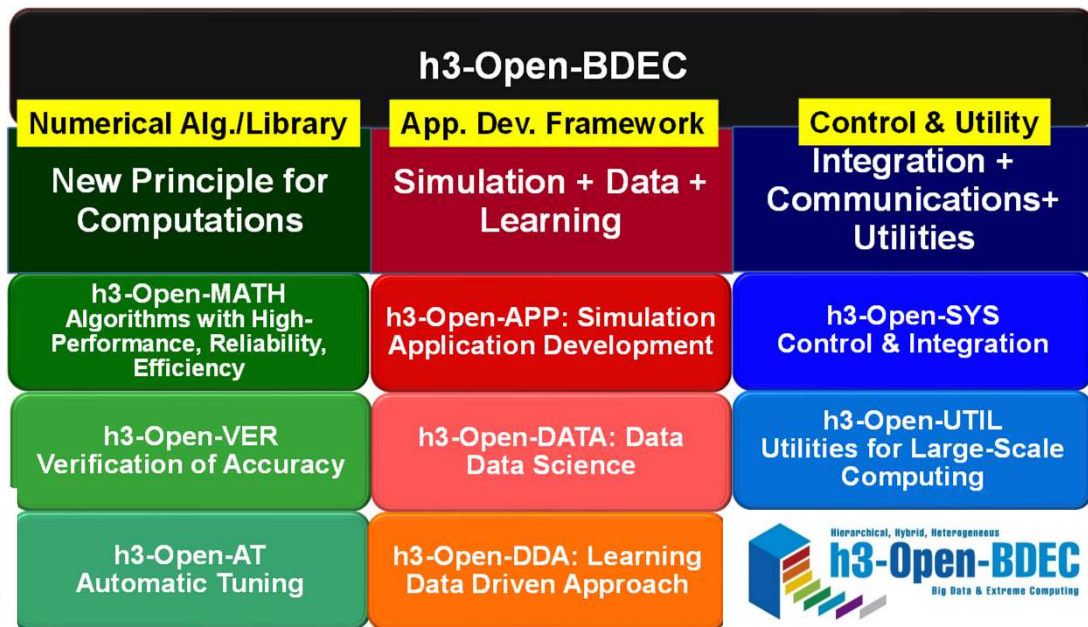
「計算+データ+学習」融合を実現する革新的ソフトウェア基盤
科研費基盤研究(S)(2019年度~23年度, 代表: 中島研吾)

<https://h3-open-bdec.cc.u-tokyo.ac.jp/>

Hierarchical,
Hybrid,
Heterogeneous

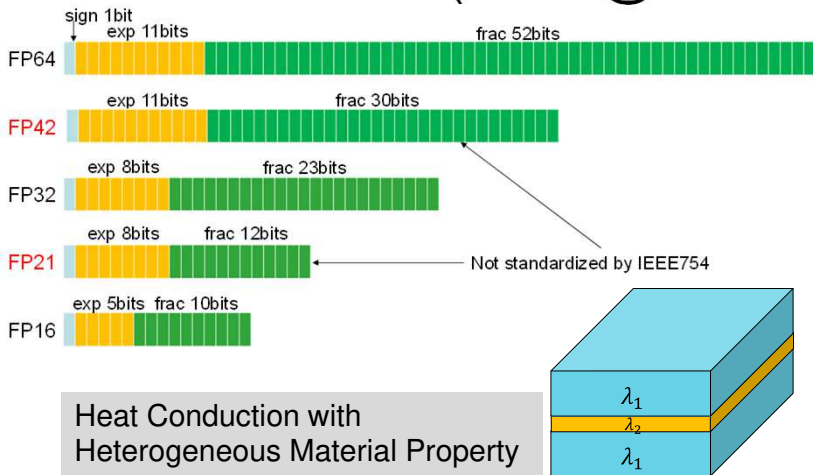
Big Data &
Extreme
Computing

- ① 変動精度演算・精度保証・自動チューニングによる新計算原理に基づく革新的数値解法
- ② 階層型データ駆動アプローチ等に基づく革新的機械学習手法
- ③ ヘテロジニアス環境 (e.g. Wisteria/BDEC-01) におけるソフトウェア, ユーティリティ群

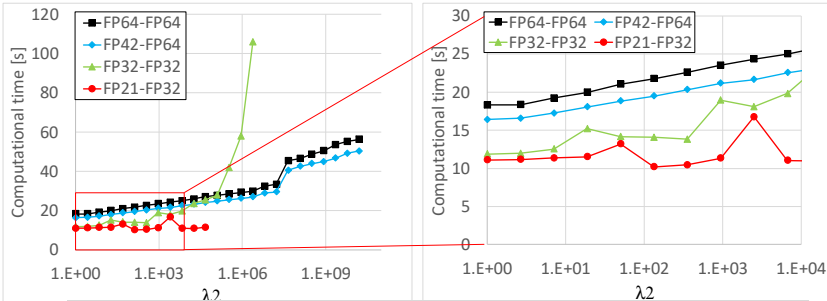


Adaptive Precision Computing with FP21/FP42

Masatoshi Kawai (kawai@cc.u-tokyo.ac.jp)



Heat Conduction with Heterogeneous Material Property

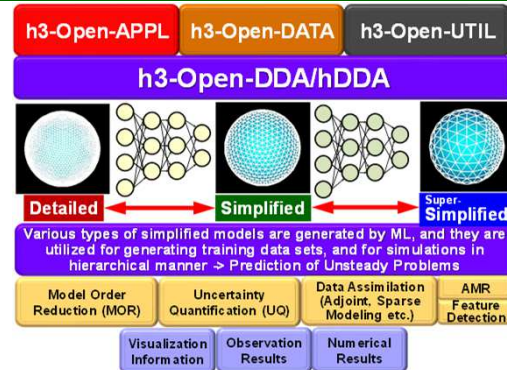
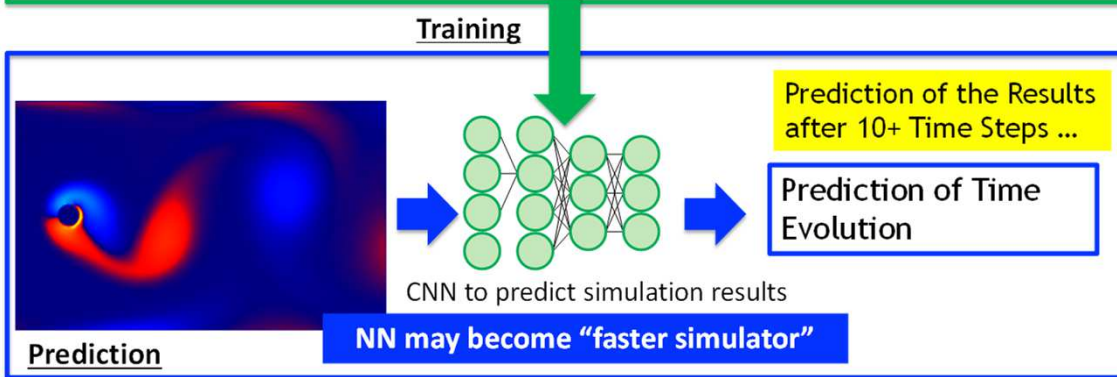
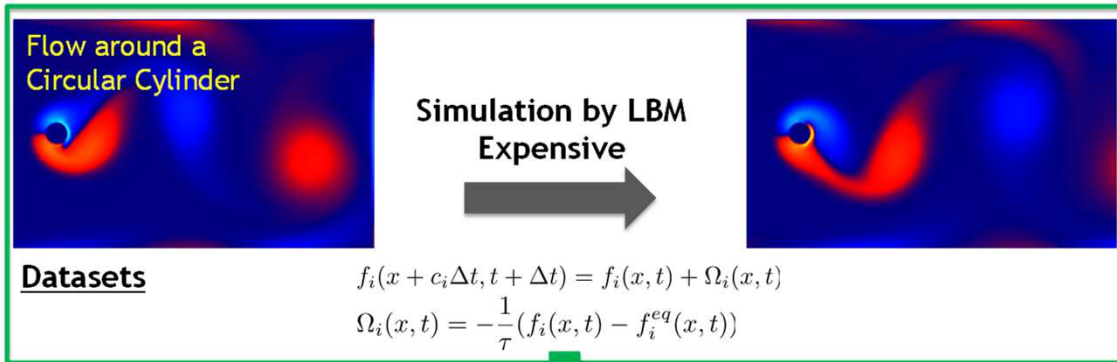


Computation Time for ICCG Solver
Various Types of Precisions on Intel Xeon Cascadelake

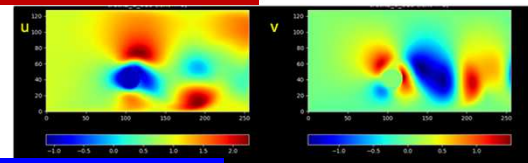
In recent years, the usefulness of low-precision floating-point representation has been studied in various fields such as machine learning. Low accuracy can be expected to have effects such as shortening calculation time and reducing power consumption. For example, in an application with a memory bandwidth bottleneck, the effect of reducing the calculation time by reducing the amount of memory transfer is significant. However, in fields such as iterative methods, it is common to use FP64 because the calculation accuracy strongly affects the convergence, and there are few application examples of low-precision arithmetic. This study investigates the applicability of low-precision representation to the Krylov subspace and stationary iterative methods. In this research, we focus on the FP32, FP16, and FP42, FP21, which are not standardized by IEEE754. Developed method has been evaluated for ICCG solver, which solves linear equations derived from 3D FVM code for steady-state head conduction with heterogeneous material property ($\lambda_1=10^0$, $\lambda_2=10^0\sim 10^9$). Generally, computation with lower precision (e.g. FP32-FP32, FP21-FP32) becomes unstable, if condition number of the coefficient matrix is larger (λ_2 is larger), FP21-FP32 provides the best performance if λ_2 is up to 10^4 . (“FP21-FP32” means “matrices are in FP21, and vectors are in FP32”).

Acceleration of Transient CFD Simulations using ML/CNN

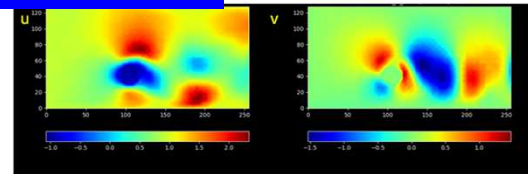
Integration of (S+D+L), AI for HPC/AI for Science



Simulations: LBM



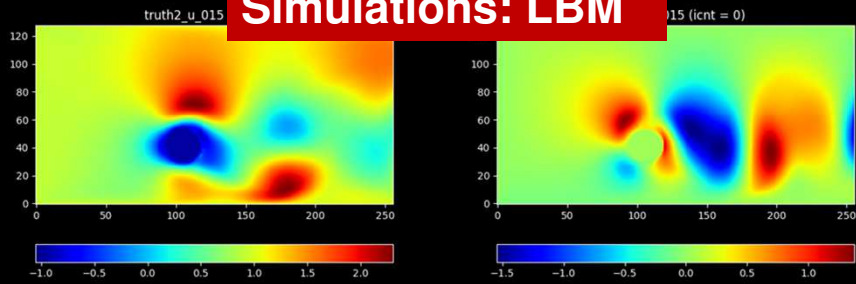
CNN Predictions



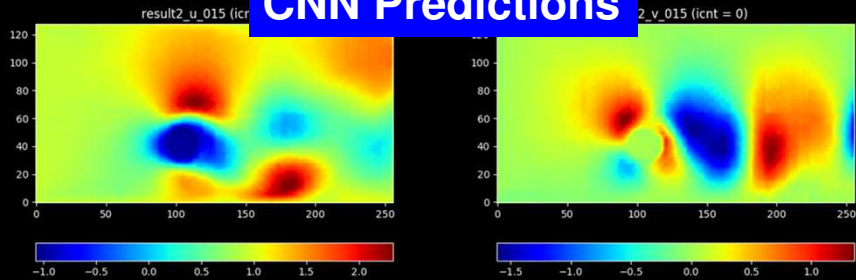
Prediction of CFD Simulation by ML/CNN

Takashi Shimokawabe (shimokawabe@cc.u-tokyo.ac.jp)

Simulations: LBM



CNN Predictions

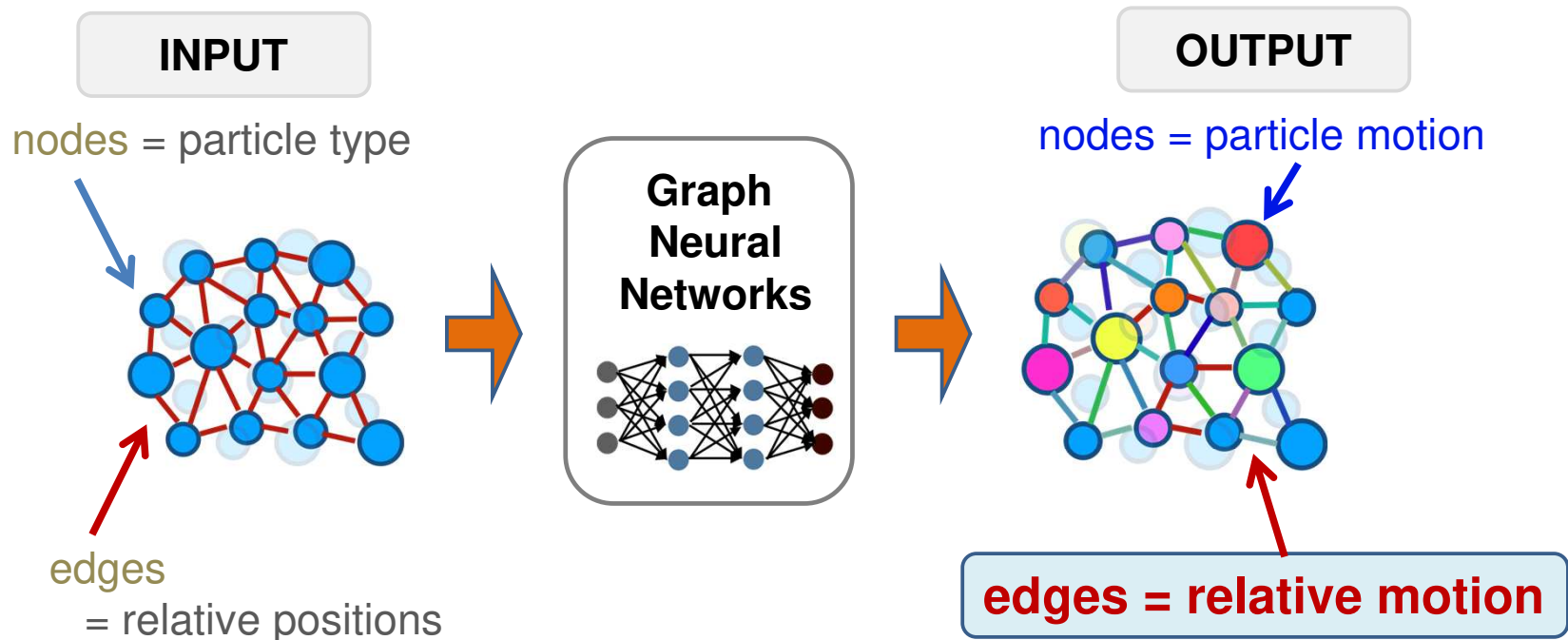


Computational fluid dynamics (CFD) is widely used in science and engineering. However, since CFD simulations requires a large number of grid points and particles for these calculations, these kinds of simulations demand a large amount of computational resources such as supercomputers. Recently, deep learning has attracted attention as a surrogate method for obtaining calculation results by CFD simulation approximately at high speed. We are working on a project to develop a parallelization method to make it possible to apply the surrogate method based on the deep learning to large scale geometry. Unlike the model parallel computing, the method we are currently developing predicts large-scale steady flow simulation results by dividing the input geometry into multiple parts and applying a single small neural network to each part in parallel. This method is developed based on considering the characteristics of CFD simulation and the consistency of the boundary condition of each divided subdomain. By using the physical values on the adjacent subdomains as boundary conditions, applying deep learning to each subdomain can predict simulation results consistently in the entire computational domain. It is possible to predict the simulation results in about 36.9 seconds by the developed method, compared to about 286.4 seconds by the conventional numerical method. In addition to this, we are also attempting to develop a method for fast prediction of time evolution calculations using deep learning.

Comparison of the flow velocity results obtained by the conventional simulation (upper) and the prediction of these results by deep learning (lower)

Machine learning slow molecular dynamics

Our proposal — **B**ond **T**argeting **N**etwork (**B**OTAN)



AI for HPC, AI for Science の実現へ向けて



Odyssey-Aquarius連携

– MPIによる通信は不可

• O-Aを跨いでMPIプログラムは動かない

– Odyssey-Aquarius間はInfiniband-EDR (2TB/sec)で結合されている

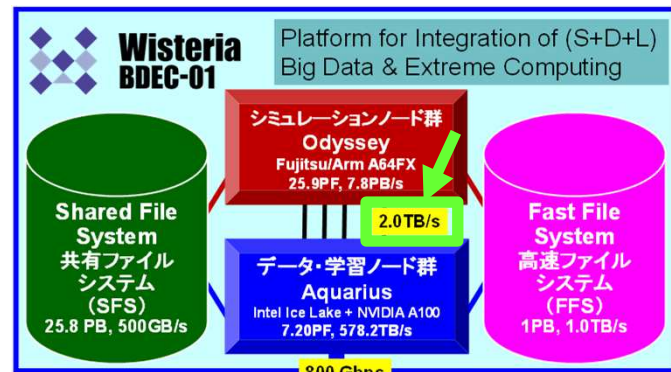
ソフトウェア開発

– 高機能カプラー: h3-Open-UTIL/MP

– O-A間通信: h3-Open-SYS/WaitIO

• IB-EDR経由 (WaitIO-Socket)

• 高速ファイルシステム (FFS) 経由連携 (WaitIO-File)



External Resources

External Network
外部ネットワーク

外部リソース

h3-Open-BDEC

新しい計算原理
数値アルゴリズム・ライブラリ

シミュレーション+データ
+学習 (S+D+L)
アプリ開発フレームワーク

統合+通信+
ユーティリティ
制御 & ユーティリティ

h3-Open-MATH
高性能・高信頼性・
混合/変動精度アルゴリズム

h3-Open-APP:
Simulation
計算科学アプリケーション

h3-Open-SYS
制御 & 統合

h3-Open-VER
精度保証

h3-Open-DATA: Data
データ科学

h3-Open-UTIL
大規模計算向け
ユーティリティ群

h3-Open-AT
自動チューニング

h3-Open-DDA:
Learning
データ駆動・機械学習



h3-Open-BDEC

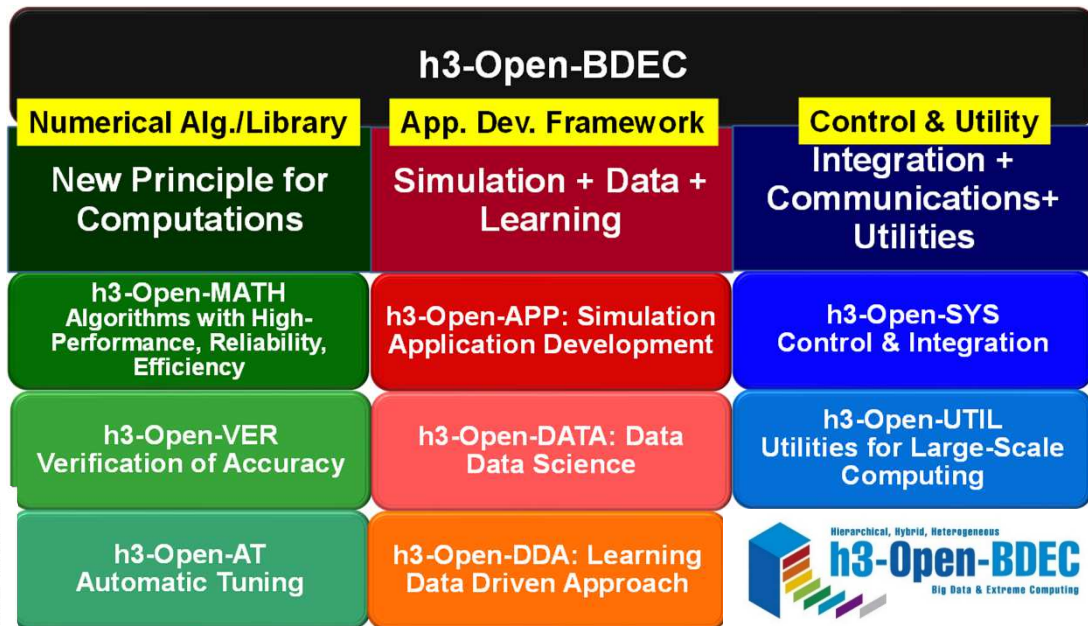
「計算+データ+学習」融合を実現する革新的ソフトウェア基盤
科研費基盤研究(S)(2019年度~23年度, 代表: 中島研吾)

<https://h3-open-bdec.cc.u-tokyo.ac.jp/>

Hierarchical,
Hybrid,
Heterogeneous

Big Data &
Extreme
Computing

- ① 変動精度演算・精度保証・自動チューニングによる新計算原理に基づく革新的数値解法
- ② 階層型データ駆動アプローチ等に基づく革新的機械学習手法
- ③ ヘテロジニアス環境 (e.g. Wisteria/BDEC-01) におけるソフトウェア, ユーティリティ群



h3-Open-SYS/WaitIO

データ受け渡しライブラリ〔松葉, 2020〕

〔住元他, HPC-181, 2021〕

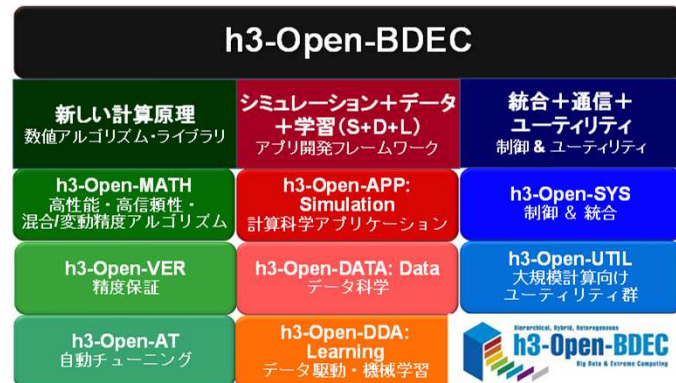
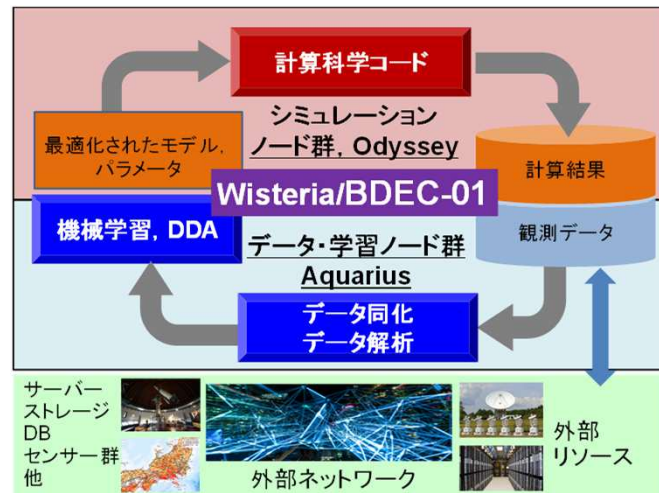
- ヘテロジニアス環境下での異なるコンポーネント間ファイル経由連携ライブラリとして考案

機能

- ✓ Odysseus～Aquarius間連携
 - IB-EDR経由通信 (WaitIO-Socket)
 - ファイル経由 (WaitIO-File)
- ✓ 外部からのデータ取得 (観測データ等)
- ✓ 読み込み・書き出しの同期

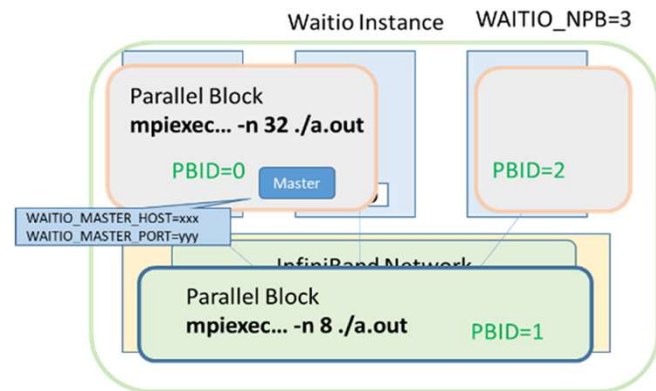
- API: C/C++, Fortranから呼び出し可能

- ✓ MPIライクなインタフェースを提供



API of h3-Open-SYS/WaitIO-Socket PB (Parallel Block): Each Application

WaitIO API	Description
<code>waitio_isend</code>	Non-Blocking Send
<code>waitio_irecv</code>	Non-Blocking Receive
<code>waitio_wait</code>	Termination of <code>waitio_isend/irecv</code>
<code>waitio_init</code>	Initialization of WaitIO
<code>waitio_get_nprocs</code>	Process # for each PB (Parallel Block)
<code>waitio_create_group</code> <code>waitio_create_group_wranks</code>	Creating communication groups among PB's
<code>waitio_group_rank</code>	Rank ID in the Group
<code>waitio_group_size</code>	Size of Each Group
<code>waitio_pb_size</code>	Size of the Entire PB
<code>waitio_pb_rank</code>	Rank ID of the Entire PB

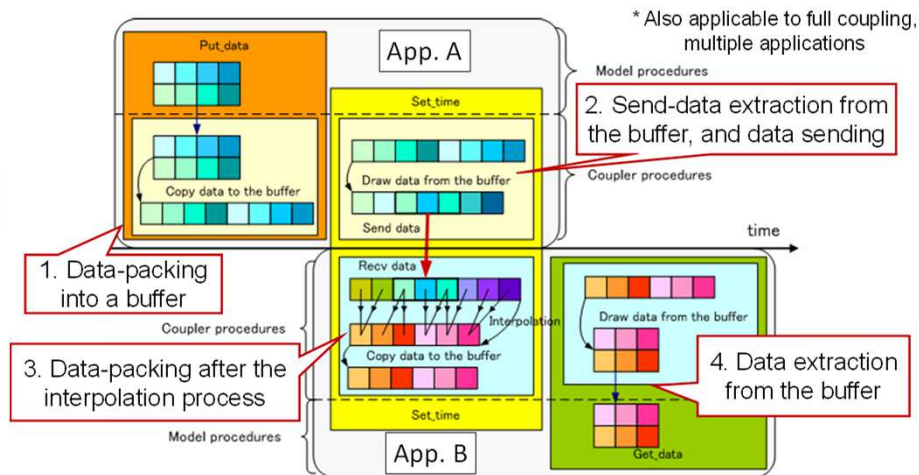
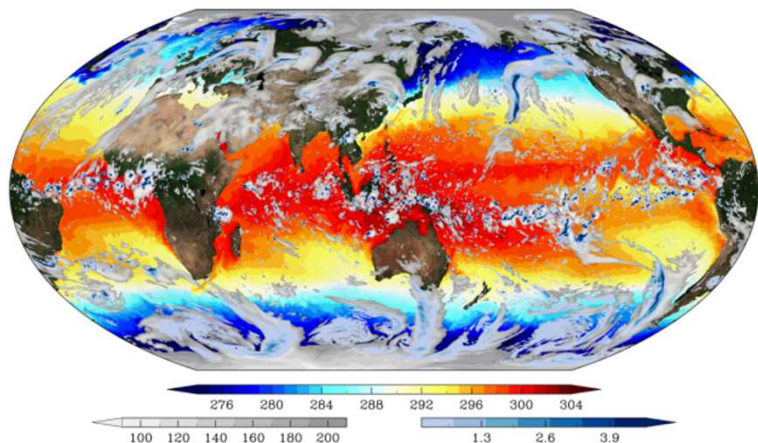


[Sumimoto et al. 2021]

連成シミュレーションのためのカプラー 〔荒川, 八代〕



- 従来のカプラー (Coupler) : ppOpen-MATH/MP
 - 複数 (通常2つ: 大気 (NICAM) + 海洋 (COCO)) のアプリケーションの弱連成 (Weak Coupling) をサポート
 - 各アプリケーションは1種類の計算をやる

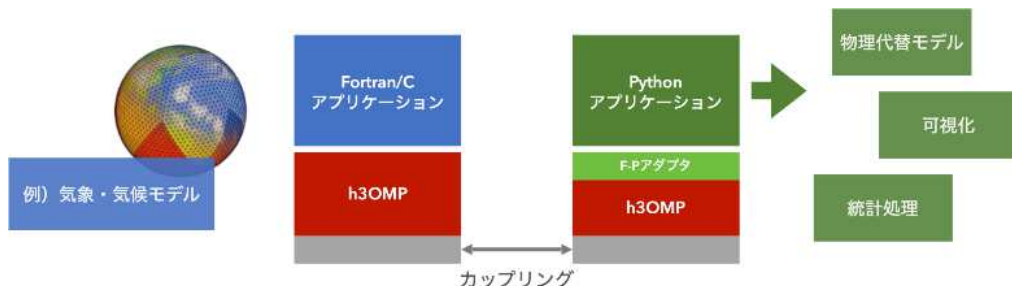


「計算+データ+学習」融合を支援する 多機能カプラーh3-Open-UTIL/MP



- 異なる物理モデル連成のアンサンブル実行を支援・統合するための機能
 - MPI通信、時刻同期、格子系間マッピング等の管理機能の他、従来のカプラーには無い、複数の弱連成結合シミュレーションのアンサンブル実行、片側のモデルのみをアンサンブル実行する多対1の弱連成結合が可能
 - スパコン上で、全地球大気海洋連成シミュレーションによって動作検証済み
- Fortran/Cコード(物理モデル)とPythonコードの弱連成を実現する機能

FortranやCで記述されたプログラム同士の連成計算に限って開発を行ってきたカプラーを、Pythonによって記述されたAI・機械学習、可視化処理系のワークロードから活用できるように機能拡充。

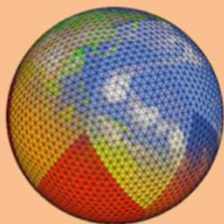


Fortran/CアプリとPythonアプリの連成計算の模式図
〔八代・荒川 2020〕

h3-Open-UTIL/MP (h3o-U/MP) + h3-Open-SYS/WaitIO-Socket



ARM: A64FX



A huge amount of
simulation data
output

HPC App
(Fortran)

h3o-U/MP

IceLake+A100

Analysis/ML
App
(Python)

F<->P adapter

h3o-U/MP

Surrogate
Model

Visualization

Statistics

Coupling

IB-EDR



**Wisteria
BDEC-01**

Odyssey



**Wisteria
BDEC-01**

Aquarius

h3-Open-UTIL/MP

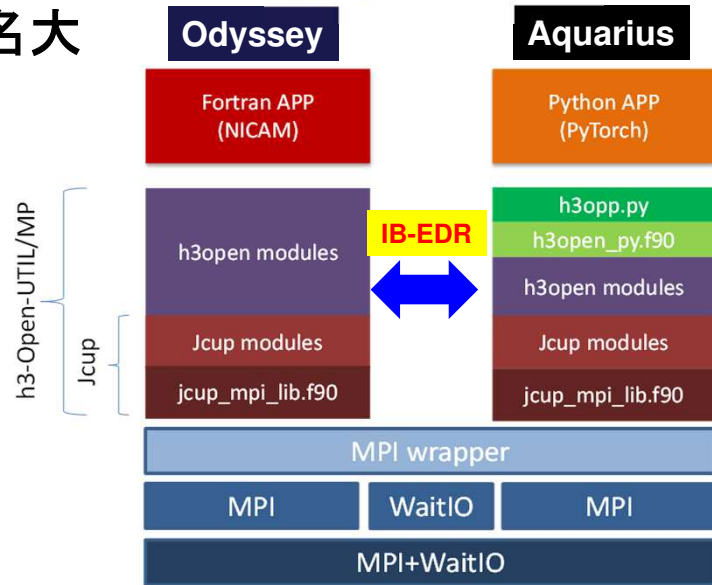
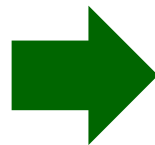
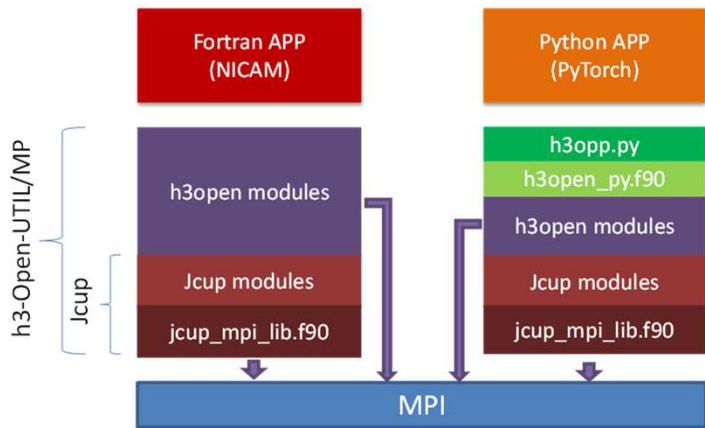
h3-Open-SYS/WaitIO-Socket連携

2022年6月から利用可能

2022年度はFS経由のWaitIO-File整備: 名大



**Wisteria
BDEC-01**



2021年4月: MPI通信可能な環境を前提

2022年6月: Coupler + WaitIO

解説記事 : h3-Open-UTIL/MP・ h3-Open-SYS/WaitIO-Socket



- h3-Open-UTIL/MP

- https://www.cc.u-tokyo.ac.jp/public/VOL24/No3/13_202205-Wisteria-2.pdf
- <http://nkl.cc.u-tokyo.ac.jp/files/202207UtilMPfinal.pdf>

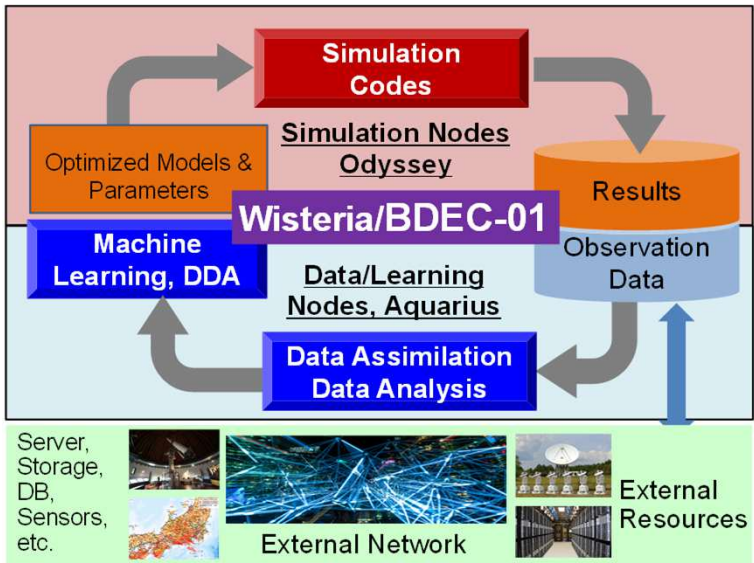


- h3-Open-SYS/WaitIO-Socket

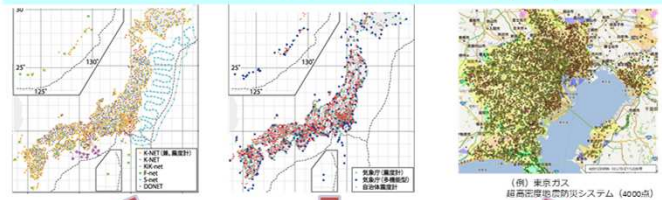
- https://www.cc.u-tokyo.ac.jp/public/VOL24/No2/10_202203Wisteria-1.pdf
- https://www.cc.u-tokyo.ac.jp/public/VOL24/No3/12_202205-Wisteria-1.pdf



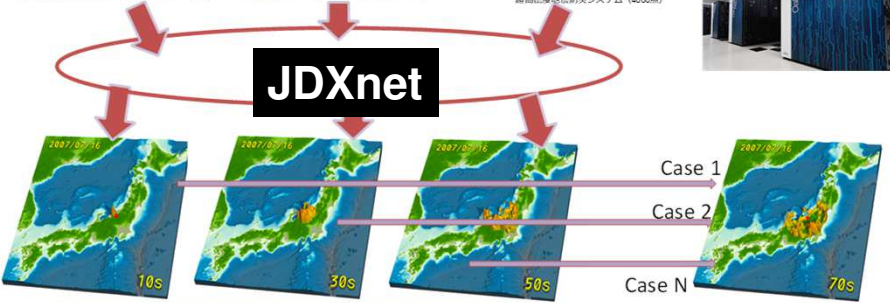
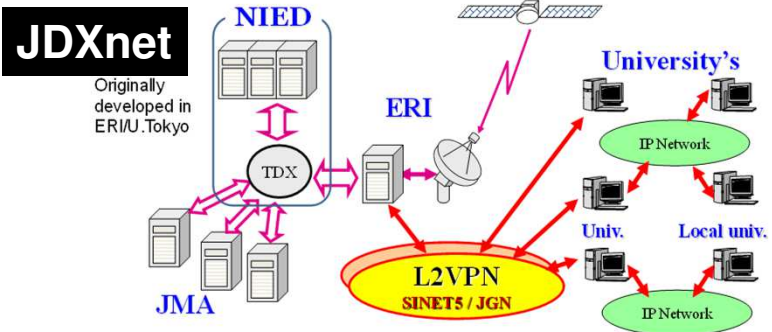
リアルタイムデータ同化+ 3D強震動シミュレーション融合 JDXnetによるリアルタイム観測データ活用



Observation Network for Earthquake: O(10⁵) Points



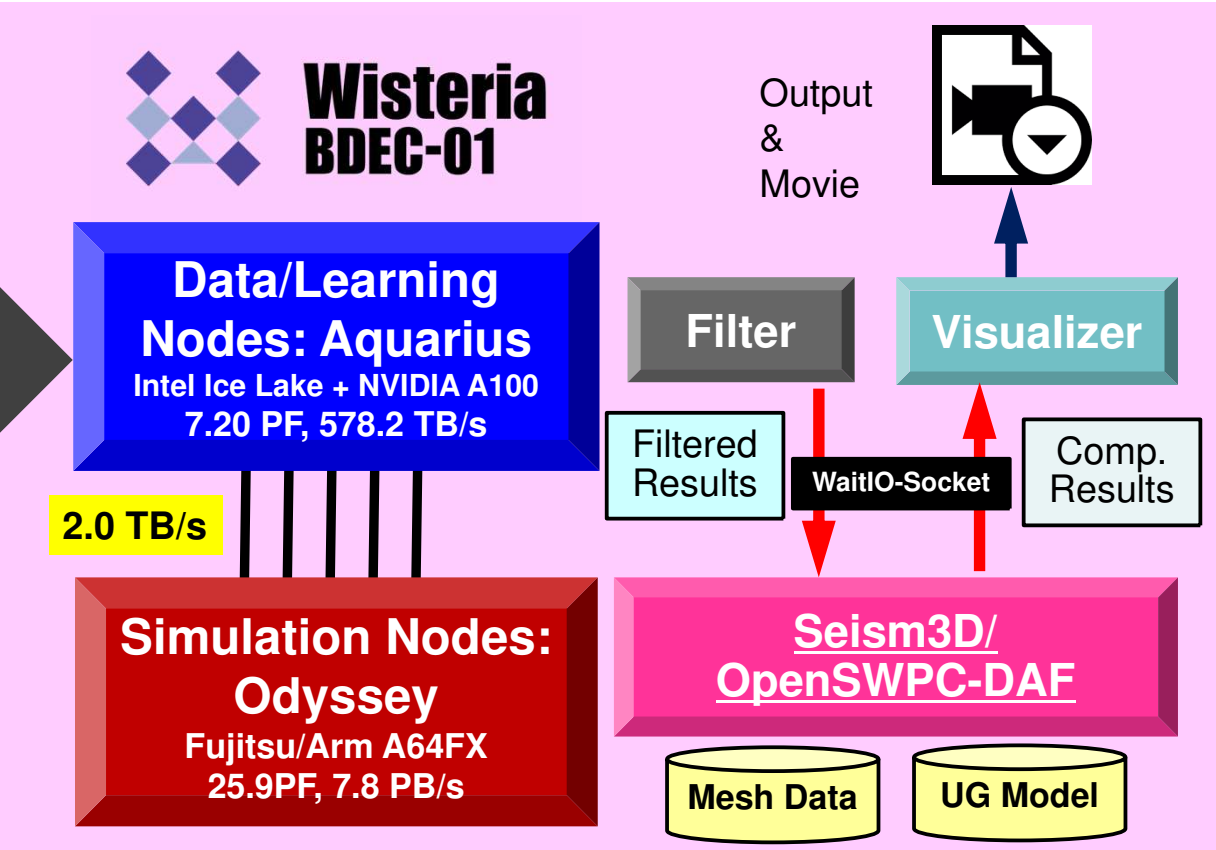
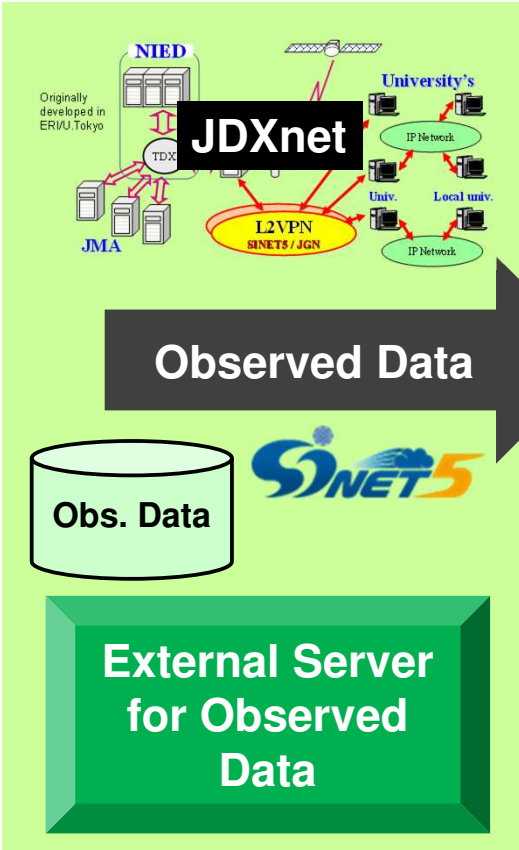
[c/o Furumura]



Real-Time Data/Simulation Assimilation
Real-Time Update of Underground Model

[c/o Prof. T.Furumura (ERI/U.Tokyo)]

長周期地震動シミュレーション+観測データ同化



Communications by WaitIO-Socket

[Kasai et al. 2021]

Aquarius: SEND

```

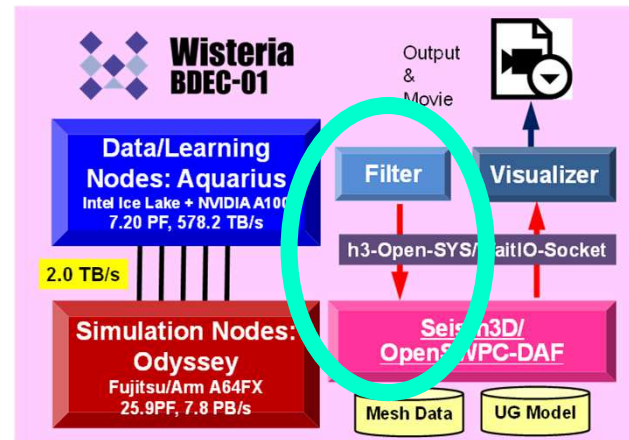
program dmy_filter
<省略: 型宣言等>
call mpi_init (ierr)
call mpi_comm_size (MPI_COMM_WORLD, nprocs, ierr)
call mpi_comm_rank (MPI_COMM_WORLD, myrank, ierr)
call WAITIO_CREATE_UNIVERSE (WAITIO_COMM_UNIVERSE, ierr)

if (myrank==0) then
open(100,file='./obsfile_list.txt', form='formatted', status='old', iostat=ierr)
do i=1,300
<省略: obsデータ読み込み処理>
print *, "Send obs data ....."
call WAITIO_MPI_ISEND (NTMAX1_o, 1, WAITIO_MPI_INTEGER, 2,1, WAITIO_COMM_UNIVERSE,req(1,1), ierr)
call WAITIO_MPI_ISEND (DT_o, 1, WAITIO_MPI_FLOAT, 2,2, WAITIO_COMM_UNIVERSE,req(1,2), ierr)
call WAITIO_MPI_ISEND (NST_o, 1, WAITIO_MPI_INTEGER, 2,3, WAITIO_COMM_UNIVERSE,req(1,3), ierr)
call WAITIO_MPI_ISEND (AT_o, 1, WAITIO_MPI_INTEGER, 2,4, WAITIO_COMM_UNIVERSE,req(1,4), ierr)
call WAITIO_MPI_ISEND (T0_o, 1, WAITIO_MPI_FLOAT, 2,5, WAITIO_COMM_UNIVERSE,req(1,5), ierr)
call WAITIO_MPI_ISEND (ISO_X_o, NSMAX, WAITIO_MPI_INTEGER, 2,6, WAITIO_COMM_UNIVERSE,req(1,6), ierr)
call WAITIO_MPI_ISEND (ISO_Y_o, NSMAX, WAITIO_MPI_INTEGER, 2,7, WAITIO_COMM_UNIVERSE,req(1,7), ierr)
call WAITIO_MPI_ISEND (ISO_Z_o, NSMAX, WAITIO_MPI_INTEGER, 2,8, WAITIO_COMM_UNIVERSE,req(1,8), ierr)
call WAITIO_MPI_ISEND (ISTX_o, NST, WAITIO_MPI_INTEGER, 2,9, WAITIO_COMM_UNIVERSE,req(1,9), ierr)
call WAITIO_MPI_ISEND (ISTY_o, NST, WAITIO_MPI_INTEGER, 2,10, WAITIO_COMM_UNIVERSE,req(1,10), ierr)
call WAITIO_MPI_ISEND (ISTZ_o, NST, WAITIO_MPI_INTEGER, 2,11, WAITIO_COMM_UNIVERSE,req(1,11), ierr)
call WAITIO_MPI_ISEND (STC_o, 6*NST, WAITIO_MPI_INTEGER, 2,12, WAITIO_COMM_UNIVERSE,req(1,12), ierr)
call WAITIO_MPI_ISEND (VxAll_obs, NST*NOBS_LEN, WAITIO_MPI_FLOAT, 2,13, WAITIO_COMM_UNIVERSE,req(1,13), ierr)
call WAITIO_MPI_ISEND (VyAll_obs, NST*NOBS_LEN, WAITIO_MPI_FLOAT, 2,14, WAITIO_COMM_UNIVERSE,req(1,14), ierr)
call WAITIO_MPI_ISEND (VzAll_obs, NST*NOBS_LEN, WAITIO_MPI_FLOAT, 2,15, WAITIO_COMM_UNIVERSE,req(1,15), ierr)
call WAITIO_MPI_WAITALL (15,req, status, ierr)
call sleep(1)
enddo
close (100)
endif
call WAITIO_FINALIZE (ierr)
call mpi_finalize (ierr)
end
    
```

Odyssey: RECV

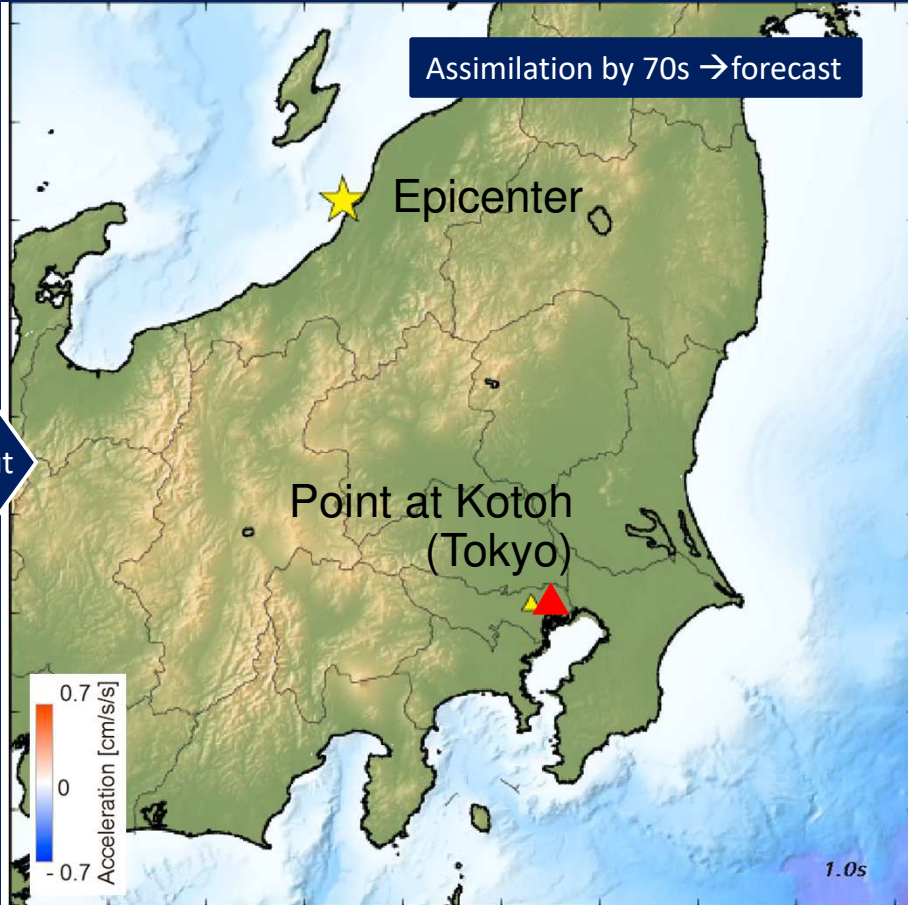
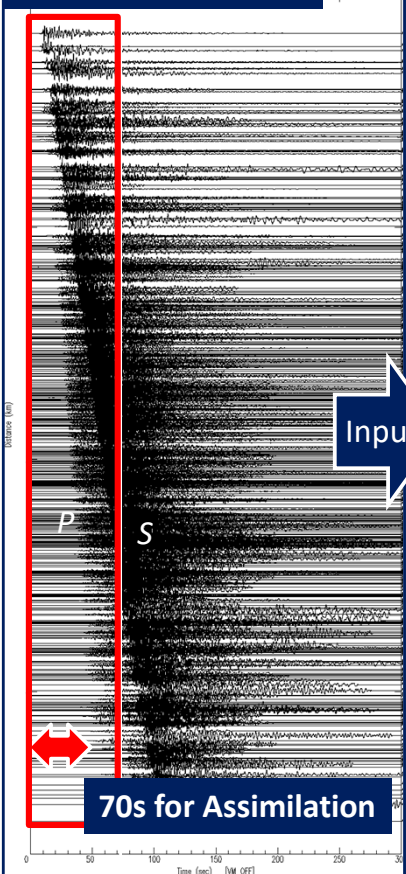
```

call WAITIO_MPI_RECV (NTMAX1_o, 1, WAITIO_MPI_INTEGER, 0,1, WAITIO_COMM_UNIVERSE,...)
call WAITIO_MPI_RECV (DT_o, 1, WAITIO_MPI_FLOAT, 0,2, WAITIO_COMM_UNIVERSE,...)
call WAITIO_MPI_RECV (NST_o, 1, WAITIO_MPI_INTEGER, 0,3, WAITIO_COMM_UNIVERSE,...)
call WAITIO_MPI_RECV (AT_o, 1, WAITIO_MPI_FLOAT, 0,4, WAITIO_COMM_UNIVERSE,...)
call WAITIO_MPI_RECV (T0_o, 1, WAITIO_MPI_FLOAT, 0,5, WAITIO_COMM_UNIVERSE,...)
call WAITIO_MPI_RECV (ISO_X_o, NSMAX, WAITIO_MPI_INTEGER, 0,6, WAITIO_COMM_UNIVERSE,...)
call WAITIO_MPI_RECV (ISO_Y_o, NSMAX, WAITIO_MPI_INTEGER, 0,7, WAITIO_COMM_UNIVERSE,...)
call WAITIO_MPI_RECV (ISO_Z_o, NSMAX, WAITIO_MPI_INTEGER, 0,8, WAITIO_COMM_UNIVERSE,...)
call WAITIO_MPI_RECV (ISTX_o, NST, WAITIO_MPI_INTEGER, 0,9, WAITIO_COMM_UNIVERSE,...)
call WAITIO_MPI_RECV (ISTY_o, NST, WAITIO_MPI_INTEGER, 0,10, WAITIO_COMM_UNIVERSE,...)
call WAITIO_MPI_RECV (ISTZ_o, NST, WAITIO_MPI_INTEGER, 0,11, WAITIO_COMM_UNIVERSE,...)
call WAITIO_MPI_RECV (STC_o, 6*NST, WAITIO_MPI_CHAR, 0,12, WAITIO_COMM_UNIVERSE,...)
call WAITIO_MPI_RECV (VxAll_obs, NST*NOBS_LEN, WAITIO_MPI_FLOAT, 0,13, WAITIO_COMM_UNIVERSE,...)
call WAITIO_MPI_RECV (VyAll_obs, NST*NOBS_LEN, WAITIO_MPI_FLOAT, 0,14, WAITIO_COMM_UNIVERSE,...)
call WAITIO_MPI_RECV (VzAll_obs, NST*NOBS_LEN, WAITIO_MPI_FLOAT, 0,15, WAITIO_COMM_UNIVERSE,...)
    
```

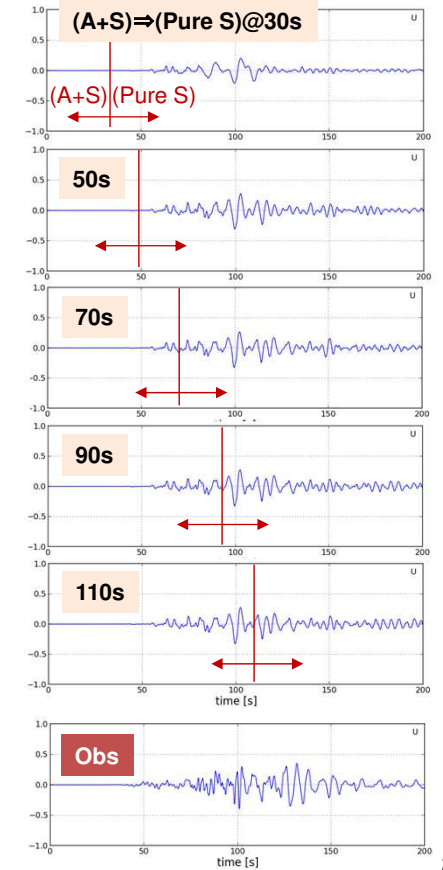


Data Assimilation + Pure Simulation/Forecast

482 K-NET, KiK-net Observation

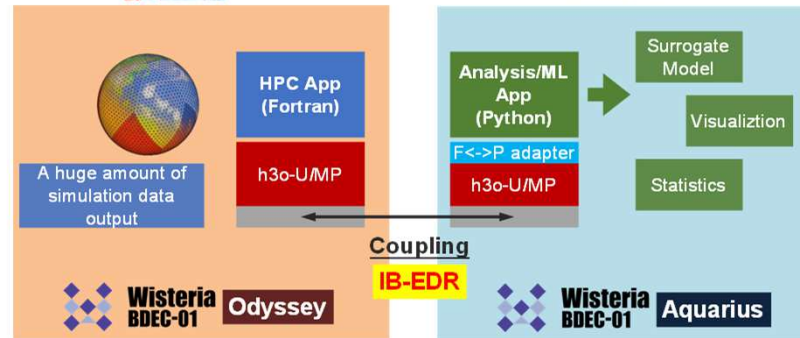
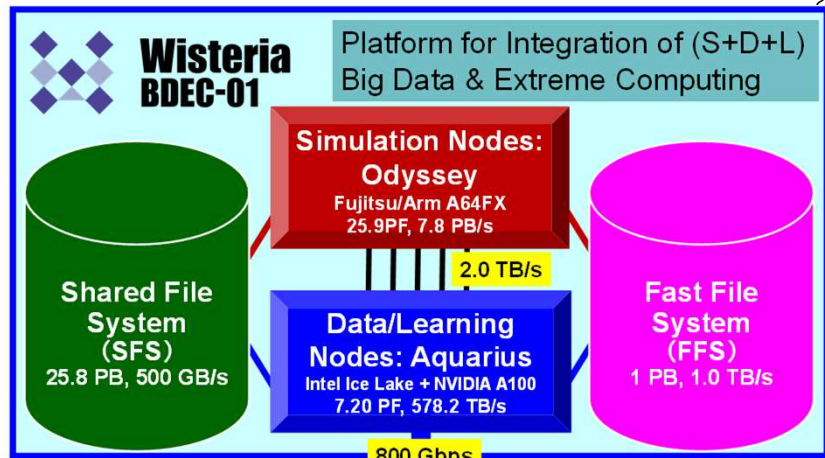


Results at Kotoh ▲ (N.KOTH)
N 35° 37.0'
E 139° 46.9'



Odyssey-Aquarius連携

- 総ノード数
 - Odyssey: 7,680ノード, やや空いている
 - Aquarius: 45ノード, 360 GPUs, 混雑
- Aquariusのうち1ノードを(S+D+L)融合型ワークロード向けにリザーブ
 - Odyssey, Aquariusそれぞれに対する2つのジョブスクリプトをサブミットする必要がある
 - 両ジョブがリソースを確保⇒実行開始
- より柔軟な仕組みを整える必要あり
 - このようなシステム, 運用例は世界的に見ても例がほとんどない



ジョブスクリプト例 [Sumimoto, Arakawa]

Odyssey for Simulation

```
#!/bin/bash
#PJM -N "test_waitio"
#PJM -L rscgrp=coupler-lec-o
#PJM -L node=10:noncont
#PJM --mpi proc=80
#PJM -L elapse=00:10:00
#PJM -g gt00
#PJM -j
#PJM -e err

module load fj
module load fjmpi
module load waitio

export WAITIO_MASTER_HOST=`hostname`
export WAITIO_MASTER_PORT=7100
export WAITIO_PPID=0
export WAITIO_NPB=2

hostname
waitio-serv-a64fx -d -m $WAITIO_MASTER_HOST

#mpiexec -oferr-proc errnicam -np 160 ./nicam
mpiexec -np 80 ./nicam
```

Aquarius for AI

```
#!/bin/bash
#PJM -N "test_waitio"
#PJM -L rscgrp=coupler-lec-a
#PJM -L node=1
#PJM --mpi proc=10
#PJM -L elapse=00:10:00
#PJM -g gt00
#PJM -j
#PJM -e err

module unload aquarius
module unload gcc omp
module load intel
module load impi
module load waitio

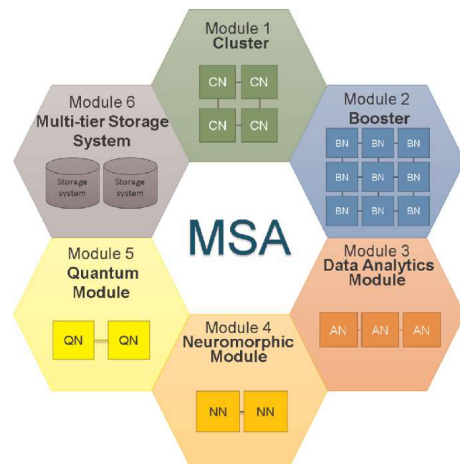
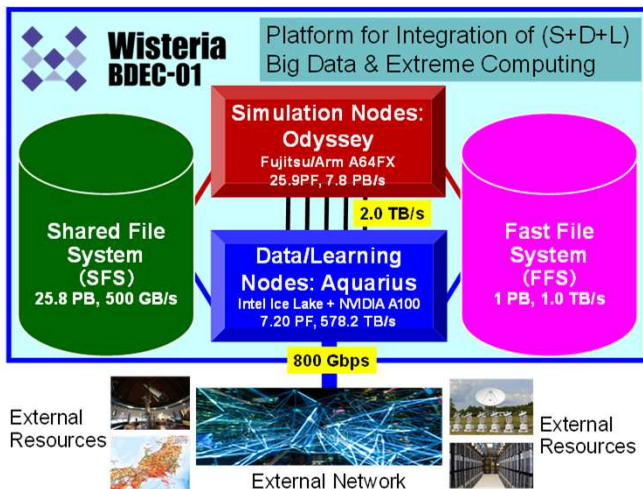
export WAITIO_MASTER_HOST=`waitio-serv -c`
export WAITIO_MASTER_PORT=7100
export WAITIO_PPID=1
export WAITIO_NPB=2

module unload intel
module unload impi
module load gcc omp

mpiexec -n 10 ./ada
```

Heterogeneous Architecture

- If you want to integrate (Simulation/Data/Learning) (S+D+L), the architecture should be heterogeneous (My Personal Perspective)
 - Wisteria/BDEC-01 (U.Tokyo)
 - Modular Supercomputing Architecture (JSC, Germany)



Joint Proposal for FY.2023 JHPCN (accepted)

<https://jhpcn-kyoten.itc.u-tokyo.ac.jp/en/>

- Innovative Computational Science by Integration of Simulation/Data/Learning under Heterogeneous Computing Environment
 - FY.2021 & 2022: Focused on Earthquake Simulations
 - Univ. Tokyo (ITC, ERI), Nagoya U., Kyushu U., NIES, Fujitsu
 - FY.2023-2025 (plan): Other applications and International Collaborations
 - Jülich Supercomputing Centre (JSC) : Modular Supercomputing
 - Rudjer Boskovic Institute, Centre for Informatics and Computing, Croatia
 - Friedrich-Alexander-Universität Erlangen-Nürnberg (FAU)
 - French Atomic Energy Commission (CEA)
- Target Systems in Japan
 - Wistreia/BDEC-01, Flow@Nagoya U., mdx

